

I-22 アルミニウム合金衝撃倒れ座屈に関する研究(3報)

大阪大学工学部 正員 前田幸雄

大阪府立工專 正員〇三官和彦

神戸製鋼所 正員 梶本政良

まえがき 本研究はアルミ合金大形材と重量構造物に積極的に使用する爲に、重要な設計条件を与える桁の横倒れ座屈に関する実験的研究を行ない、アルミ合金材による桁の曲げ圧縮許容応力算定の資料を得んとするものである。以上の目的で主たる構造用アルミ合金、 $Al-Mg$ 系 2 元合金 AA5083 と $Al-Zn-Mg$ 系 3 元合金 AA7078 の大形押出形材に正の等曲げモーメントを作用させ、生ずる非弾性域での横倒れ座屈強度につき実験的考察を加え、あわせて両者の比較を試みたのでその結果を報告する。

試験形及び試験方法 試験形は押出I形材を冷間加工で矯正したもので、その断面寸法をFig.1に、その分類を表-1に示す。また試験形の機械的性質並びに化学成分を表-2に示す。

試験方法はFig.2に示す如く、1/5面油圧シヤッキ2基で載荷桁に載荷することにより試験桁の両端に等曲げモーメントを作用させた。なお載荷桁は載荷卓の位置で積支保装置で支持されている。

試験行の変位(U, V)の測定はアルミニウム材で構成した枠を基準とし、ダイヤルゲージで測定し、断面応力測定には塑性ゲージKL10A5を用り、その貼付位置をFig.1に示した。

実験結果と考察 鋼材に比し弾性係数の小さなアルミニ合金鋼では、たわみの量がかなり大きく出てくる。荷重の増大につれ突然横倒れ現象が目撃されるようになるが、それ以後は荷重は大して上らず横座屈変形が急速に発達していく。

試験中測定した桁の中央断面の各横変位を Fig.3 に、ストレインを Fig.4 に示す。なおこれら横変位の値は桁中央の実測値から両端にありその平均を差し引いた値であり、ストレインはフランジ面内の水平変位(U)による歪を取リ

表-1 試験術の分類

材質	分類	寸法 (mm)	数量(本)
AA 5083	1-1, 2	254 x 130 x 8 x 13 x 1294	2
	2-1, 2	": x 2294	2
	3-1	": x 3294	1
AA 7078	1-1, 2	254 x 130 x 8 x 13 x 1294	2
	2-1, 2	": x 2294	2
	3-1, 2	": x 3294	2

表-2 機械的性質および化学成分

材質	引張試験				化学成分(%)							
	衝力 Kg/mm ²	引張強さ Kg/mm ²	伸び %	Cu	Si	Fe	Mn	Mg	Cr	Zn	Ti	Al
AA 5083	16.6	30.8	23	0.08	0.10	0.25	0.73	4.2	0.17	0.02	0.08	Re
AA 7078	28.6	35.14	19	0.04	0.09	0.21	0.42	1.10	0.22	4.53	/	Re

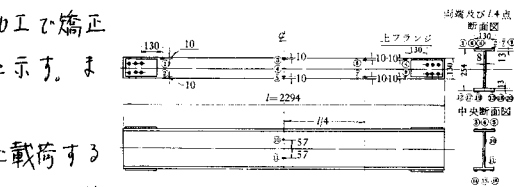


Fig. 1 Dimension of Test Beam

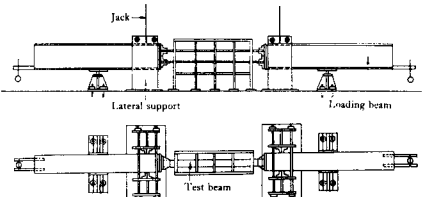


Fig. 2 Test Setup

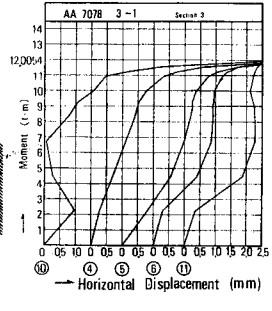
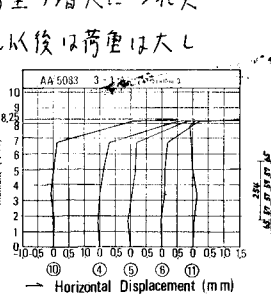


Fig. 3 Bending Moment—Horizontal Displacement Curve of AA 5083 and AA 7078

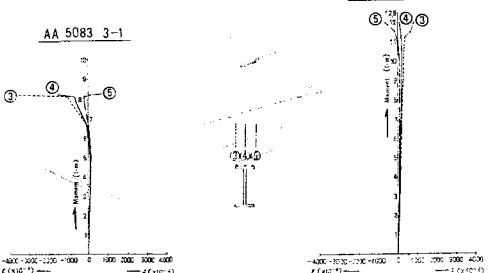


Fig. 4 Bending Moment-Strain Curve due to Horizontal Displacement (AA 5083 and AA 7078)

出したものである。横座屈強度はこれらの横変位が急激に変化する点に注目し、ストレインの変化の状態を合せて判定する事とした。また横座屈強度の算定に当つては、かゝる断面寸法の桁ではウエブの変形が座屈強度に及ぼす影響は小さいので、これを考慮しない弾性鉄合方程式を基本式とし(1,2報参照)、非弾性域においては接線弾性係数理論を用ひる事とした。

等曲げモーメントによる横座屈強度は、両端固定の条件を満たす解として次の式を得る。

$$\sigma_{cr} = \frac{1}{S} \cdot \frac{2\pi}{\ell} \sqrt{EI_y} \sqrt{GJ_t + \frac{4\pi^2}{\ell^2} EC_{bd}} \quad \cdots (1)$$

ここで、 EI_y : y 軸まわりの曲げ剛度、 GJ_t : St. Venant の捩れ剛性
 EC_{bd} : 曲げ捩れ剛性、 S : 断面係数

AA5083 及び AA7078 の試験桁の各フランジより切り取って作成した 5 号引張試験片によると Stress-Strain Curve (Fig. 5) から導いた $\sigma_c - \tau$ Curve (Fig. 6) を用ひて (1) 式から算出した横座屈強度曲線を示す Fig. 7, Fig. 8 に示す。また (1) 式は反りにもとづく曲げ捩れ剛性が支配的であることを示す次のよう簡略化され。

$$\sigma_{cr} = \frac{4\pi^2 E}{(\ell/\ell_r)^2} \quad \cdots (2) \text{ 但し } \ell_r = \sqrt{\frac{I_f}{A_f + \frac{1}{6} A_w}}$$

ここで、 A_f : 圧縮フランジの面積、 A_w : ウエブの面積

この (2) 式から Fig. 6 の $\sigma_c - \tau$ Curve を用ひて算出した座屈強度曲線を Fig. 9, Fig. 10 に示す。更に St. Venant の捩れ剛性を支配的とみなすと (1) 式の近似式となる次式を得る。

$$\sigma_{cr} = \frac{1.3 E}{\ell \cdot d/b_t} \quad \cdots (3)$$

ここで、 d : フランジ中心間距離、 b, t : フランジ巾、厚

Fig. 12 である。なお強度計算に用ひた弾性係数及びボアソン比は、引張試験の結果から判断して AA5083 は $E = 7.26 \times 10^5 \text{ N/mm}^2$, $\nu = 1/3$, AA7078 は $E = 7.48 \times 10^5 \text{ N/mm}^2$, $\nu = 0.34$ とした。以上の事から $\ell/\ell_r = 31.75$, $b/t_r = 10 \left(\frac{b}{t_r} : \frac{75}{143} \right)$ なる断面寸法では、その強軸まわりに等曲げモーメントが作用する場合、1) かゝる断面では接線弾性係数理論によれば非弾性域での座屈強度曲線は、曲げ捩れ剛性を支配的とみなす (2) 式か (3) 式に比しより近似を与え、AA7078 における AA5083 に比してその傾向が目立つ。この (3) 式を用ひて前と同じく算出した座屈強度曲線が Fig. 11, Fig. 12 である。なお強度計算に用ひた弾性係数及びボアソン比は、引張試験の結果から判断して AA5083 は $E = 7.26 \times 10^5 \text{ N/mm}^2$, $\nu = 1/3$, AA7078 は $E = 7.48 \times 10^5 \text{ N/mm}^2$, $\nu = 0.34$ とした。以上の事から $\ell/\ell_r = 31.75$, $b/t_r = 10 \left(\frac{b}{t_r} : \frac{75}{143} \right)$ なる断面寸法では、その強軸まわりに等曲げモーメントが作用する場合、1) かゝる断面では接線弾性係数理論によれば非弾性域での座屈強度曲線は、曲げ捩れ剛性を支配的とみなす (2) 式か (3) 式に比しより近似を与え、AA7078 における AA5083 に比してその傾向が目立つ。2) 実験座屈強度は AA5083 は $\ell/\ell_r > 35$, AA7078 は $\ell/\ell_r > 40$ の範囲で理論曲線より強度低下がみられるが、全塑性モーメントに達し得る所の横方向支持点の間隔の限度は、AA5083 では同じく算出した所の $\ell/\ell_r = 35$ 程度となり、AA7078 では $\ell/\ell_r = 30$ 程度となることが判断される。

本研究について日本金属協会の研究補助金をうけたことを附記する。

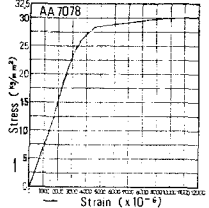
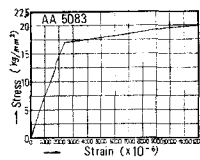


Fig. 5 Stress-Strain Curve of AA 5083 and AA 7078

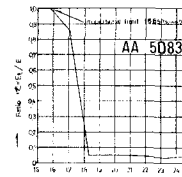


Fig. 6 $\sigma_c - \tau$ Curve of AA 5083 and AA 7078

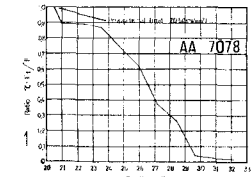


Fig. 7 $\sigma_c - l$ Curve of AA 5083

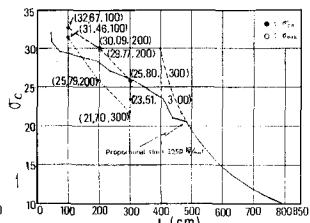
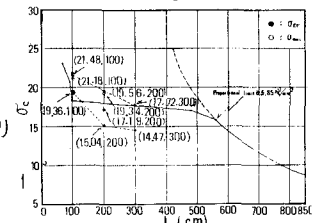


Fig. 8 $\sigma_c - l$ Curve of AA 7078

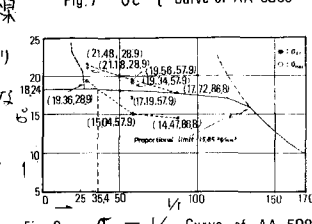


Fig. 9 $\sigma_c - V_f$ Curve of AA 5083

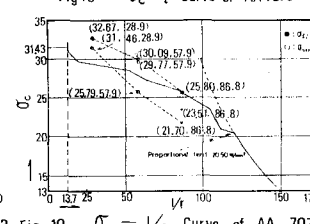


Fig. 10 $\sigma_c - V_f$ Curve of AA 7078

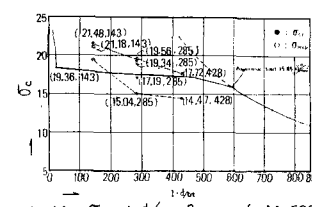


Fig. 11 $\sigma_c - l'd/bt$ Curve of AA 5083

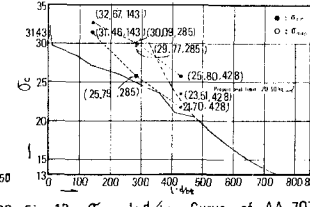


Fig. 12 $\sigma_c - l'd/bt$ Curve of AA 7078